

Marche aléatoire dans \mathbb{Z}^d indexée par un arbre & son nombre de points visités

Shen LIN

en collaboration avec Jean-François LE GALL

Université Paris-Sud

Colloque Jeunes Probabilistes et Statisticiens

8 avril 2014

Introduction

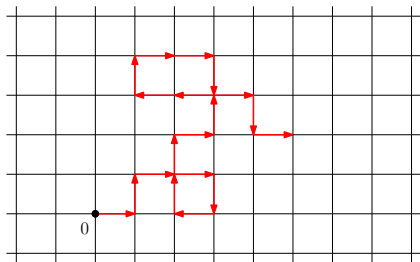
Soit $(X_n)_{n \geq 0}$ une marche aléatoire dans \mathbb{Z}^d , $X_0 = 0$,

$$X_n = Y_1 + Y_2 + \cdots + Y_n$$

où Y_1, Y_2, \dots sont indépendantes à valeurs dans \mathbb{Z}^d , et de même loi θ . Alors

$$R_n := \#\{X_0, X_1, \dots, X_n\}$$

est le nombre de points distincts dans \mathbb{Z}^d visités par la marche jusqu'au temps n .



Ici, $R_{19} = 18$

Théorème de Dvoretzky-Erdős

Dvoretzky et Erdős (1951) ont étudié le comportement asymptotique de R_n quand $n \rightarrow \infty$, dans le cas de la marche aléatoire simple (i.e. si θ est uniforme sur les voisins de 0) :

- si $d \geq 3$,

$$\frac{1}{n} R_n \xrightarrow[n \rightarrow \infty]{\text{p.s.}} q_d > 0,$$

- si $d = 2$,

$$\frac{\log n}{n} R_n \xrightarrow[n \rightarrow \infty]{\text{p.s.}} \pi,$$

- si $d = 1$,

$$\frac{R_n}{\sqrt{n}} \xrightarrow[n \rightarrow \infty]{(d)} \sup_{0 \leq t \leq 1} B_t - \inf_{0 \leq t \leq 1} B_t,$$

où q_d est la probabilité que la marche ne revienne plus à son point de départ, et $(B_t)_{t \geq 0}$ est un mouvement brownien linéaire standard.

Appliquer le théorème ergodique sous-additif

Quand $d \geq 3$, il y a une preuve courte ([Kesten-Spitzer-Whitman](#)) qui utilise le [théorème ergodique sous-additif de Kingman](#). Notons que, pour tous $m, n \geq 0$,

$$R_{n+m} \leq R_n + R_m \circ \tau_n,$$

où τ_n est l'opérateur de [shift](#) sur les trajectoires : $\tau_n \circ X_k = X_{n+k} - X_n$.

Appliquer le théorème ergodique sous-additif

Quand $d \geq 3$, il y a une preuve courte ([Kesten-Spitzer-Whitman](#)) qui utilise le [théorème ergodique sous-additif de Kingman](#). Notons que, pour tous $m, n \geq 0$,

$$R_{n+m} \leq R_n + R_m \circ \tau_n,$$

où τ_n est l'opérateur de [shift](#) sur les trajectoires : $\tau_n \circ X_k = X_{n+k} - X_n$.

Le théorème ergodique sous-additif de Kingman donne immédiatement

$$\frac{1}{n} R_n \xrightarrow[n \rightarrow \infty]{\text{p.s.}} q_d,$$

où $q_d = \lim_{n \rightarrow \infty} \frac{1}{n} E[R_n] = P(X_1 \neq 0, X_2 \neq 0, \dots)$.

Appliquer le théorème ergodique sous-additif

Quand $d \geq 3$, il y a une preuve courte ([Kesten-Spitzer-Whitman](#)) qui utilise le [théorème ergodique sous-additif de Kingman](#). Notons que, pour tous $m, n \geq 0$,

$$R_{n+m} \leq R_n + R_m \circ \tau_n,$$

où τ_n est l'opérateur de [shift](#) sur les trajectoires : $\tau_n \circ X_k = X_{n+k} - X_n$.

Le théorème ergodique sous-additif de Kingman donne immédiatement

$$\frac{1}{n} R_n \xrightarrow[n \rightarrow \infty]{\text{p.s.}} q_d,$$

où $q_d = \lim_{n \rightarrow \infty} \frac{1}{n} E[R_n] = P(X_1 \neq 0, X_2 \neq 0, \dots)$.

Cette méthode s'applique à toutes les marches aléatoires, et

$q_d > 0$ si et seulement si X est transitoire.

Marche aléatoire indexée par un arbre

Question (Itai Benjamini) : a-t-on un résultat analogue pour une marche aléatoire indexée par un arbre ?

Marche aléatoire indexée par un arbre

Question (Itai Benjamini) : a-t-on un résultat analogue pour une marche aléatoire indexée par un arbre ?

Considérons

- un arbre (aléatoire) \mathcal{T}_n discret enraciné avec n sommets ;
- conditionné à \mathcal{T}_n , une collection $(Y_e)_{e \in \mathcal{E}(\mathcal{T}_n)}$ des v.a. indépendantes distribuées selon θ , indexées par l'ensemble des arêtes de \mathcal{T}_n .

Marche aléatoire indexée par un arbre

Question (Itai Benjamini) : a-t-on un résultat analogue pour une marche aléatoire indexée par un arbre ?

Considérons

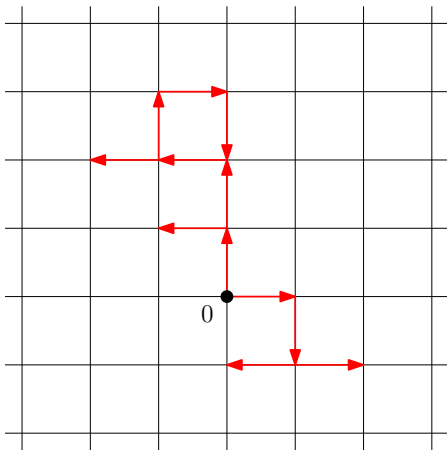
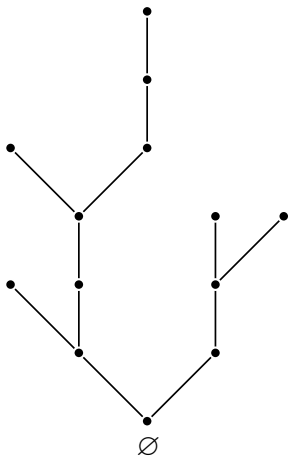
- un arbre (aléatoire) \mathcal{T}_n discret enraciné avec n sommets ;
- conditionné à \mathcal{T}_n , une collection $(Y_e)_{e \in \mathcal{E}(\mathcal{T}_n)}$ des v.a. indépendantes distribuées selon θ , indexées par l'ensemble des arêtes de \mathcal{T}_n .

Pour chaque sommet v de \mathcal{T}_n , soit

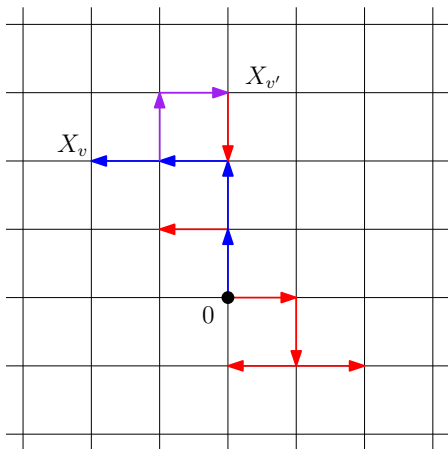
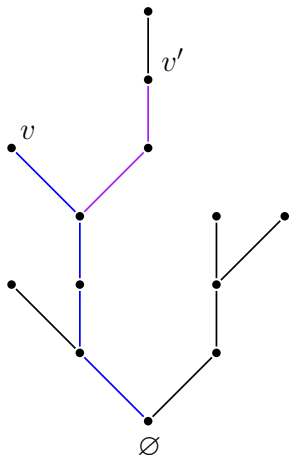
$$X_v = \sum_{e: \emptyset \rightarrow v} Y_e$$

où l'on somme sur toutes les arêtes le long du chemin simple de la racine \emptyset à v .

Marche aléatoire indexée par un arbre



Marche aléatoire indexée par un arbre



Arbres de Galton-Watson

Soit μ une mesure de probabilité sur $\mathbb{Z}_+ = \{0, 1, 2, \dots\}$ telle que :

- $\sum_{k=0}^{\infty} k \mu(k) = 1$ (μ est critique),
- $\sum_{k=0}^{\infty} k^2 \mu(k) < \infty$ (μ de variance finie).

Arbres de Galton-Watson

Soit μ une mesure de probabilité sur $\mathbb{Z}_+ = \{0, 1, 2, \dots\}$ telle que :

- $\sum_{k=0}^{\infty} k \mu(k) = 1$ (μ est critique),
- $\sum_{k=0}^{\infty} k^2 \mu(k) < \infty$ (μ de variance finie).

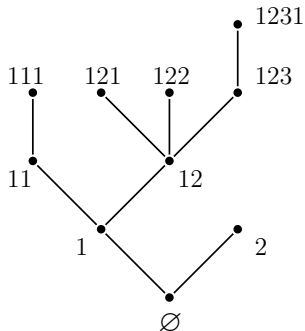
L'arbre de Galton-Watson \mathcal{T} de loi de reproduction μ décrit la généalogie d'un processus de Galton-Watson de même loi de reproduction :

- le processus part d'un ancêtre à la génération 0 ;
- chaque individu a, indépendamment des autres, k enfants avec probabilité $\mu(k)$.

Comme μ est critique, l'arbre \mathcal{T} est p.s. fini.

Notation : $\#\mathcal{T}$ = le nombre de sommets de \mathcal{T} .

Arbres de Galton-Watson



Un arbre **planaire** \mathcal{T} (enraciné et ordonné)

Arbres de GW conditionnés par la taille

Soit \mathcal{T} un arbre de Galton-Watson de loi de reproduction μ .

Pour chaque $n \geq 1$ tel que $P(\#\mathcal{T} = n) > 0$, soit

$$\mathcal{T}_n \stackrel{(d)}{=} \mathcal{T} \text{ conditionné à } \#\mathcal{T} = n.$$

Arbres de GW conditionnés par la taille

Soit \mathcal{T} un arbre de Galton-Watson de loi de reproduction μ .

Pour chaque $n \geq 1$ tel que $P(\#\mathcal{T} = n) > 0$, soit

$$\mathcal{T}_n \stackrel{(d)}{=} \mathcal{T} \text{ conditionné à } \#\mathcal{T} = n.$$

Plusieurs classes combinatoires d'arbres aléatoires à n sommets retrouvées :

- Si $\mu(k) = 2^{-k-1}$, \mathcal{T}_n est uniformément distribué sur l'ensemble des arbres **planaires** à n sommets ;
- Si $\mu(0) = \mu(2) = 1/2$, \mathcal{T}_n est uniformément distribué sur l'ensemble des arbres **binaires** à n sommets (n impair) ;
- Si $\mu = \text{Poisson}(1)$, \mathcal{T}_n est uniformément distribué sur l'ensemble des arbres de **Cayley** à n sommets.

Arbres de GW conditionnés par la taille

Soit \mathcal{T} un arbre de Galton-Watson de loi de reproduction μ .
 Pour chaque $n \geq 1$ tel que $P(\#\mathcal{T} = n) > 0$, soit

$$\mathcal{T}_n \stackrel{(d)}{=} \mathcal{T} \text{ conditionné à } \#\mathcal{T} = n.$$

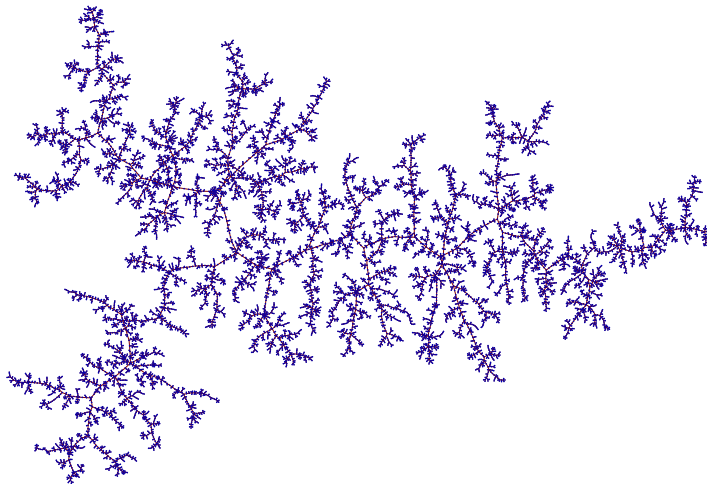
Plusieurs classes combinatoires d'arbres aléatoires à n sommets retrouvées :

- Si $\mu(k) = 2^{-k-1}$, \mathcal{T}_n est uniformément distribué sur l'ensemble des arbres **planaires** à n sommets ;
- Si $\mu(0) = \mu(2) = 1/2$, \mathcal{T}_n est uniformément distribué sur l'ensemble des arbres **binaires** à n sommets (n impair) ;
- Si $\mu = \text{Poisson}(1)$, \mathcal{T}_n est uniformément distribué sur l'ensemble des arbres de **Cayley** à n sommets.

Théorème d'Aldous (1993) : Soit $\rho^2 = \text{var } \mu$,

$$\left(\mathcal{T}_n, \frac{\rho}{2\sqrt{n}} d_{\text{gr}}\right) \xrightarrow[n \rightarrow \infty]{(d)} (\mathbf{T}_e, d_e).$$

Grand arbre planaire



Un arbre planaire uniforme à 27179 sommets (©Igor Kortchemski)

Nombre de points visités par une marche aléatoire indexée par \mathcal{T}_n

- \mathcal{T}_n est un arbre de GW de loi de reproduction μ , conditionné à avoir n sommets ;
- Conditionnellement à \mathcal{T}_n , $(X_v)_{v \in \mathcal{V}(\mathcal{T}_n)}$ est une marche aléatoire de loi de saut θ , indexée par \mathcal{T}_n , et $\mathcal{R}_n = \#\{X_v : v \in \mathcal{V}(\mathcal{T}_n)\}$.

Nombre de points visités par une marche aléatoire indexée par \mathcal{T}_n

- \mathcal{T}_n est un arbre de GW de loi de reproduction μ , conditionné à avoir n sommets ;
- Conditionnellement à \mathcal{T}_n , $(X_v)_{v \in \mathcal{V}(\mathcal{T}_n)}$ est une marche aléatoire de loi de saut θ , indexée par \mathcal{T}_n , et $\mathcal{R}_n = \#\{X_v : v \in \mathcal{V}(\mathcal{T}_n)\}$.

Théorème

Supposons que θ est centrée, non portée sur un sous-groupe de \mathbb{Z}^d + conditions supplémentaires sur les moments.

Nombre de points visités par une marche aléatoire indexée par \mathcal{T}_n

- \mathcal{T}_n est un arbre de GW de loi de reproduction μ , conditionné à avoir n sommets ;
- Conditionnellement à \mathcal{T}_n , $(X_v)_{v \in \mathcal{V}(\mathcal{T}_n)}$ est une marche aléatoire de loi de saut θ , indexée par \mathcal{T}_n , et $\mathcal{R}_n = \#\{X_v : v \in \mathcal{V}(\mathcal{T}_n)\}$.

Théorème

Supposons que θ est centrée, non portée sur un sous-groupe de \mathbb{Z}^d + conditions supplémentaires sur les moments.

- ❶ Si $d \geq 5$, $n^{-1} \mathcal{R}_n \xrightarrow[n \rightarrow \infty]{(P)} c_{\mu, \theta} > 0$;

Nombre de points visités par une marche aléatoire indexée par \mathcal{T}_n

- \mathcal{T}_n est un arbre de GW de loi de reproduction μ , conditionné à avoir n sommets ;
- Conditionnellement à \mathcal{T}_n , $(X_v)_{v \in \mathcal{V}(\mathcal{T}_n)}$ est une marche aléatoire de loi de saut θ , indexée par \mathcal{T}_n , et $\mathcal{R}_n = \#\{X_v : v \in \mathcal{V}(\mathcal{T}_n)\}$.

Théorème

Supposons que θ est centrée, non portée sur un sous-groupe de \mathbb{Z}^d + conditions supplémentaires sur les moments.

- 1 Si $d \geq 5$, $n^{-1} \mathcal{R}_n \xrightarrow[n \rightarrow \infty]{(P)} c_{\mu, \theta} > 0$;
- 2 Si $d = 4$ et $\mu(k) = 2^{-k-1}$, $\frac{\log n}{n} \mathcal{R}_n \xrightarrow[n \rightarrow \infty]{L^2} 8 \pi^2 \sigma^4$, où $\sigma^2 = (\det(\text{cov } \theta))^{1/4}$;

Nombre de points visités par une marche aléatoire indexée par \mathcal{T}_n

- \mathcal{T}_n est un arbre de GW de loi de reproduction μ , conditionné à avoir n sommets ;
- Conditionnellement à \mathcal{T}_n , $(X_v)_{v \in \mathcal{V}(\mathcal{T}_n)}$ est une marche aléatoire de loi de saut θ , indexée par \mathcal{T}_n , et $\mathcal{R}_n = \#\{X_v : v \in \mathcal{V}(\mathcal{T}_n)\}$.

Théorème

Supposons que θ est centrée, non portée sur un sous-groupe de \mathbb{Z}^d + conditions supplémentaires sur les moments.

- 1 Si $d \geq 5$, $n^{-1} \mathcal{R}_n \xrightarrow[n \rightarrow \infty]{(P)} c_{\mu, \theta} > 0$;
- 2 Si $d = 4$ et $\mu(k) = 2^{-k-1}$, $\frac{\log n}{n} \mathcal{R}_n \xrightarrow[n \rightarrow \infty]{L^2} 8 \pi^2 \sigma^4$, où $\sigma^2 = (\det(\text{cov } \theta))^{1/4}$;
- 3 Si $d \leq 3$ et $\sum e^{\lambda k} \mu(k) < \infty$, $n^{-d/4} \mathcal{R}_n \xrightarrow[n \rightarrow \infty]{(d)} c_{\mu, \theta} \text{Leb}(\text{supp}(\mathcal{I}))$,
où \mathcal{I} est la mesure aléatoire ISE sur \mathbb{R}^d .
(ISE = integrated Super-Brownian excursion)

La croissance linéaire de \mathcal{R}_n

La convergence

$$\frac{\mathcal{R}_n}{n} \xrightarrow[n \rightarrow \infty]{} c_{\mu, \theta} \geq 0$$

pourrait aussi se déduire du [théorème ergodique sous-additif de Kingman](#).
(Trouver une application de shift τ sur un espace d'arbres convenable, et une mesure de probabilité invariante et ergodique sous τ .)

La croissance linéaire de \mathcal{R}_n

La convergence

$$\frac{\mathcal{R}_n}{n} \xrightarrow[n \rightarrow \infty]{} c_{\mu, \theta} \geq 0$$

pourrait aussi se déduire du [théorème ergodique sous-additif de Kingman](#).
(Trouver une application de shift τ sur un espace d'arbres convenable, et une mesure de probabilité invariante et ergodique sous τ .)

On suppose que θ est centrée et a des moments d'ordre $d - 1$ finis.

- Si μ est de [variance finie](#), alors $c_{\mu, \theta} > 0$ quand $d \geq 5$;
- Si μ appartient au [domaine d'attraction d'une loi stable d'indice \$\alpha \in \(1, 2\)\$](#) , alors $c_{\mu, \theta} > 0$ quand $d > \frac{2\alpha}{\alpha-1}$.

Les dimensions sous-critiques $d \leq 3$

$$\frac{\mathcal{R}_n}{n^{d/4}} \xrightarrow[n \rightarrow \infty]{(d)} c_{\mu, \theta} \text{Leb}(\text{supp}(\mathcal{I}))$$

Remarque. la variable $\text{Leb}(\text{supp}(\mathcal{I}))$ est **non-dégénérée** si et seulement si $d \leq 3$.

Les dimensions sous-critiques $d \leq 3$

$$\frac{\mathcal{R}_n}{n^{d/4}} \xrightarrow[n \rightarrow \infty]{(d)} c_{\mu, \theta} \text{Leb}(\text{supp}(\mathcal{I}))$$

Remarque. la variable $\text{Leb}(\text{supp}(\mathcal{I}))$ est **non-dégénérée** si et seulement si $d \leq 3$.

Hypothèses :

- $\sum_{k=0}^{\infty} e^{\lambda k} \mu(k) < \infty$, pour un $\lambda > 0$;
- θ est centrée, et elle a des moments d'ordre 4 finis.

Janson et Marckert (2005) :

$$cn^{-1/4}(X_v)_{v \in \mathcal{V}(\mathcal{T}_n)} \xrightarrow[n \rightarrow \infty]{} \text{Mouvement brownien indexé par } \mathbf{T}_e,$$

où $c = \frac{1}{\sigma} \sqrt{\frac{\rho}{2}}$ ($\rho^2 = \text{var } \mu$ et supposons que $\text{cov } \theta = \sigma^2 \text{Id}$).

Les dimensions sous-critiques $d \leq 3$

En particulier,

$$\frac{1}{n} \sum_{v \in \mathcal{V}(\mathcal{T}_n)} \delta_{\frac{cX_v}{n^{1/4}}}$$

Les dimensions sous-critiques $d \leq 3$

En particulier,

$$\frac{1}{n} \sum_{v \in \mathcal{V}(\mathcal{T}_n)} \delta_{\frac{cX_v}{n^{1/4}}} \xrightarrow[n \rightarrow \infty]{(d)} \mathcal{I} \quad \text{dans } \mathcal{M}_1(\mathbb{R}^d).$$

La mesure ISE \mathcal{I} se définit comme la mesure d'occupation du mouvement brownien indexé par \mathbf{T}_e .

Les dimensions sous-critiques $d \leq 3$

En particulier,

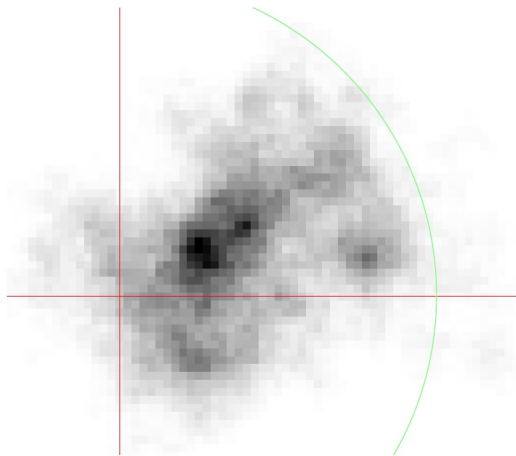
$$\frac{1}{n} \sum_{v \in \mathcal{V}(\mathcal{T}_n)} \delta_{\frac{cX_v}{n^{1/4}}} \xrightarrow[n \rightarrow \infty]{(d)} \mathcal{I} \quad \text{dans } \mathcal{M}_1(\mathbb{R}^d).$$

La mesure ISE \mathcal{I} se définit comme la mesure d'occupation du mouvement brownien indexé par \mathbf{T}_e .

Pour conclure :

l'existence de densité pour la mesure \mathcal{I} + la convergence des temps locaux...

Distribution de Masse



Une simulation de $\sum_{v \in \mathcal{V}(\mathcal{T}_n)} \delta_{X_v}$ avec $n \approx 96000$. (©Gordon Slade)

La dimension critique $d = 4$

Hypothèses :

- $\mu(k) = 2^{-k-1}$ (géométrique) ;
- θ est symétrique, et elle a des moments exponentiels finis.

$$\frac{\log n}{n} \mathcal{R}_n \xrightarrow[n \rightarrow \infty]{L^2} 8 \pi^2 \sigma^4$$

IDÉE : Utiliser une chaîne de Markov à valeurs dans un espace de trajectoires, appelée le **serpent discret**.

PROBLÈME :

Si μ n'est pas géométrique, cette approche par l'utilisation du serpent discret ne fonctionne plus, et la situation devient plus compliquée !

Référence



J.-F. Le Gall & L. (2013)

The range of tree-indexed random walk

<http://arxiv.org/abs/1307.5221>



J.-F. Le Gall & L. (2014)

The range of tree-indexed random walk in low dimensions

<http://arxiv.org/abs/1401.7830>